

単過鉄筋コンクリートばかりの破壊曲げモーメントについて

加賀美一三*

要旨

鉄筋コンクリートばかりの荷重時における鉄筋に生ずるひずみの大きさは、一般に既往の実験結果より鉄筋コンクリートばかりの圧縮側におけるひずみ分布様相中の同位置のひずみ値にはほとんど一致することが認められている。

単過鉄筋コンクリートばかりに対する、以上の見解にもとづいた中立軸位置係数値を含んだ破壊曲げモーメント式の計算によれば、著者の既報の式より実験結果に対して一層の良結果がえられたが、鉄筋コンクリートばかりの圧縮側全域に関係した圧縮応力にもとづく計算と異なりその差が僅少なので既報の近似式を用いて差支えないことを述べた。

1. 緒言

帶の曲線として次式であらわされる。

単過鉄筋コンクリートばかりの破壊曲げモーメントについて既に報告³⁾しているのであるが、主鉄筋のひずみ様相の測定結果²⁾は、はりの圧縮帶のコンクリートのひずみ分布曲線次数とほぼ同様と考えられるので、単過鉄筋コンクリートばかりに対してこの考え方を適用して、はりの中立軸位置係数式を求め、破壊曲げモーメント式に代入して計算したところ、既報告の値よりも実験値に一層近い良結果がえられたが、圧縮帶全域に関係する圧軸応力にもとづく計算と異なりその差は微少で、実験上からも設計計算面からも単過鉄筋コンクリートばかりにおいては、既報告³⁾の略式を使用して差支えないものと考えられるここと述べたものである。

2. 過鉄筋コンクリートばかりの主鉄筋応力と中立軸位置係数

単鉄筋コンクリートばかりの主鉄筋のひずみ分布様相は既報告²⁾の実験値にみると、はりの塑性領域に入る低鉄筋コンクリートばかりはもちろん過鉄筋コンクリートばかりにおいても中立軸位置前後までひぶわ方が入るので、はりの引張帶のコンクリート側表面のひずみとくに主鉄筋位置のコンクリート側表面と主鉄筋のひずみ値は異なる。すなわち、主鉄筋のひずみは引張帶位置の真のひずみ値を示し、圧縮帶のひずみ分布様相とほとんど近似的であると考えられる。いま、はりの有効高さを d 、 x を中立軸位置の値、 ϵ_c 、 ϵ_s をコンクリート、鉄筋の総ひずみとするとき図1のひずみ分布曲線は、圧縮帶、引張

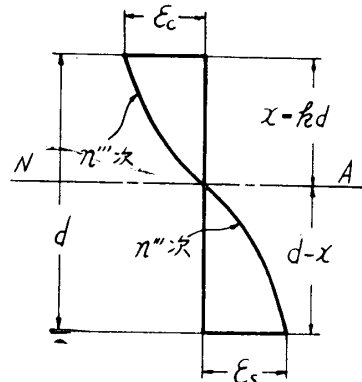


図1 鉄筋コンクリートばかり断面のひずみ分布様相

$$\epsilon_c''' = \xi x \quad (a)$$

$$\epsilon_s''' = \xi(d-x) \quad (b)$$

いま、一般の鉄筋コンクリートばかりに使用される範囲のコンクリートにおいては、 ϵ_c は 25×10^{-4} 程度³⁾、 n''' は約1.1次⁴⁾と考えられるので、(a)式より

$$\xi = 0.0025^{1.1}/x$$

主鉄筋位置のひずみを ϵ_c とすると、(b)式のことくなり、すなわち

$$\epsilon_c = 0.0025(d/x - 1)^{0.909} \quad (c)$$

ゆえに、 E_c を鉄筋のヤング係数とすると

$$\sigma_c = \epsilon_c E_c = 0.0025(d/x - 1)^{0.909} E_s \quad (1)$$

(1)式より

$$x = \frac{(0.0025 E_s)^{1.1} d}{(0.0025 E_s)^{1.1} + \sigma_s^{1.1}} \quad (2)$$

(2)式中、 σ_s を鉄筋の降伏点応力とするとき、 $\sigma_s =$

* 土木工学科教室

σ_{sy} とおくと、低、過鉄筋コンクリートばかりの境界の中立軸の位置を示すことになる。すなわち、一般に $E_s = 2100000 \text{ kg/cm}^2$ であるから

$$x = \frac{5250^{1.1}d}{5250^{1.1} + \sigma_{sy}^{1.1}} \quad (2')$$

いま、鉄筋コンクリートばかりのある断面の応力の平衡関係より、 b を巾、 p を鉄筋比、 $\mu = n/(n+1)$ 、 $n = コンクリートの応力分布次数とするとき次式が成立する。$

$$\mu k \sigma_c = p \sigma_s$$

過鉄筋の場合は、 σ_c は σ_{sy} に達し、 σ_s は(1)式にて示される値となるので、この式中にこれらの値を代入すると

$$\frac{\sigma_{sy}^{0.909} k^{1.909}}{\mu \sigma_{sy}} + \frac{5250p^{0.909}}{5250p^{0.909} - 5250p^{0.909}} k = 0 \quad (3)$$

この(3)式により、試的計算にて k 値を求めれば、過鉄筋ばかりの場合の中立軸位置係数が得られる。ただし、(3)式第1項の k 値の幕数を近似的に2次と仮定すると、2次方程式として解くことができる。すなわち

$$k = \left\{ -\frac{5250p^{0.909}}{5250p^{0.909}} + \sqrt{\left(\frac{5250p^{0.909}}{5250p^{0.909}}\right)^2 + 4\mu \sigma_{sy}^{0.909} \frac{5250p^{0.909}}{5250p^{0.909}}} \right\} / 2\mu \sigma_{sy}^{0.909} \quad (4)$$

3. 実験例と照査計算

著者が山口大学工学部学報³⁾にて報告している過鉄筋

コンクリートばかり No.1', 2', 3', 4' の2点荷重および1点荷重の実験供試体に対し、(4)式により中立軸位置係数を計算すると表1の値となる。

表1 既報告の k 値³⁾ と(4)式の k 値

項目 供試体No.	b cm	d cm	p	σ_{sy} kg/cm^2	σ_{sy} kg/cm^2	$k^{3)}$	(4)式による k	荷重法
1'	12.0	10.8	0.0393	314	3210	0.577	0.583	2点
2'	12.1	11.1	0.0379	273	3071	0.593	0.600	2点
3'	12.3	11.15	0.0371	246	3210	0.609	0.609	1点
4'	12.5	11.2	0.0363	237	3210	0.618	0.613	2点

表1中の主鉄筋ひずみをACI⁵⁾と同様に、直線変化として求めた k 値と(4)式の近似式にて求めた k 値とを比較すると、ほとんど差異が認められない。(4)式の k 値が目安となるので、方眼紙法にて(3)式により k 値を求め、さらに破壊曲げモーメントを計算すると表2となる。

表2 (3), (4)式による k 値と破壊曲げモーメント

項目 供試体番号	No. 1'	No. 2'	No. 3'	No. 4'
(4)式による k	0.583	0.600	0.609	0.613
(3)式による k	0.572	0.587	0.602	0.610
比, %	1.9	2.2	1.2	0.03
報告 ³⁾ による M_u, kgcm	156000	147000	138000	138000
(3)式の k による場合の M_u, kgcm	155000	145000	137000	137000
比, %	0.6	1.4	0.8	0.8

著者の既報告³⁾における破壊曲げモーメント式による破荷重 P_u と実験荷重 P_f は技術上許容される範囲内の比であると考えられ、表2の比の関係より過鉄筋コンクリートばかりの場合には、(3)式によるまでもなく(4)式

でも既報³⁾の式と大差を生じないので、既報の近似式によってよいものと考えられる。

4. 結 言

単過鉄筋コンクリートばかりの破壊時においては、主鉄筋応力は降伏点応力に達していないので、この誘起されている応力を実験にもとづくひずみ性状より求め、さらにはり部材内の力学的平衡関係より中立軸位置係数を示す式を誘導し、これにより破壊曲げモーメントを計算したところ、著者の既報告³⁾における簡略法より当然よい結果を示すことになったが、いずれも技術常識上の範囲内で大差ないので計算の煩雑さをさけるためにも既報³⁾の略法でも差支えないものと考えられることを述べたものである。

参 考 文 献

- 1) 加賀美： 土木学会論文集，19号，(1954)
- 2) 加賀美： 材料試験，6，4号，(1957)
- 3) 加賀美： 山口大学工学部学報，13，1号，(1962)
- 4) 加賀美： 土木学会論文集，87号，(1962)
- 5) Ultimate Strength Design： Vol. 27, ACI, (1956)